

УДК 534.121.1

ИЗЛУЧЕНИЕ ЗВУКА ПЛАСТИНОЙ, ВОЗБУЖДАЕМОЙ
СЛУЧАЙНЫМИ ПО ПРОСТРАНСТВУ И ВРЕМЕНИ
ПРОДОЛЬНЫМИ СИЛАМИ

Ефимцов Б. М., Преображенская И. И.

Исследуется акустическое излучение неограниченной тонкой пластины, возбуждаемой случайным по пространству и времени конвектирующим полем продольных сил. Оценивается влияние пространственных масштабов корреляции, фазовой скорости поля продольных сил и диссипации в пластине на ее акустическое излучение. Дается сравнительная оценка излучения звука пластиной при ее возбуждении продольными и нормальными распределенными случайными силами.

Акустическое излучение пластины, возбуждаемой продольными силами, обычно рассматривалось в предположении их детерминированности в пространстве и во времени [1, 2]. Настоящая работа посвящена исследованию излучения звука пластиной, возбуждаемой случайным по пространству и времени конвектирующим полем продольных сил. К такому классу сил относятся пульсации касательного напряжения, действующие на обтекаемую поверхность при турбулентном режиме течения в пограничном слое.

Рассмотрим неограниченную однородную пластину из линейного вязкоупругого материала, разделяющую два полупространства, среды в которых имеют одинаковые скорость распространения звуковых волн c_0 и плотность ρ_0 . На пластину действует одномерная система распределенных случайных по пространству и времени продольных сил, описываемых стационарной во времени и однородной по пространству центрированной функцией $\tau(x, t)$. Продольные силы равномерно распределены по толщине пластины. Если отнести координату x к срединной поверхности пластины и дополнить ее координатой z , отсчитываемой по нормали к пластине, то ее колебания описываются уравнением

$$\frac{E_0 h}{1-\nu^2} \frac{\partial^2 w}{\partial x^2} - \rho h \frac{\partial^2 w}{\partial t^2} = \tau + \frac{\nu h}{1-\nu} \frac{\partial p}{\partial x} \frac{\partial p}{\partial x} \Big|_{z=\pm h/2}, \quad (1)$$

которое получается по аналогии с уравнением продольных волн в пластине, подверженной звуковому воздействию [2]. Здесь E_0 — линейный вязкоупругий оператор, который на множестве решений, содержащих временной множитель $\exp(i\omega t)$, обладает свойством $E_0[\exp(i\omega t)] = E[1+i\eta(\omega)] \times \exp(i\omega t)$, где E — модуль Юнга, η — коэффициент потерь, ν — коэффициент Пуассона, h — толщина, ρ — плотность материала пластины; $w(x, t)$ — случайное пространственно-временное поле продольных перемещений пластины под действием поля $\tau(x, t)$; $p(x, z, t)$ — случайное пространственно-временное поле давления, создаваемое колеблющейся пластиной. Эти возмущения среды будем считать безвихревыми и настолько малыми, что их можно описать волновым уравнением. Кинематические условия, как и в работе [1], принимаются в виде

$$\frac{\partial \varphi}{\partial z} \Big|_{z=\pm h/2} = \pm \frac{\lambda h}{2(\lambda+2\mu)} \frac{\partial^2 w}{\partial x \partial t} \pm \frac{i h \omega}{2(\lambda+2\mu)} p \Big|_{z=\pm h/2}, \quad (2)$$

где λ и μ — параметры Ламе материала пластины. Уравнения дополняются условиями ограниченности $p(x, z, t)$ при $z \rightarrow \pm \infty$. Задача состоит в определении вероятностных характеристик звукового поля, генерируемого

пластиной при заданных вероятностных характеристиках действующего на нее поля продольных сил.

Для решения задачи будем использовать метод ортогональных статистических разложений. Функцию $\tau(x, t)$ с вероятностью, равной единице, можно представить в виде интегрального канонического разложения

$$\tau(x, t) = \int_{-\infty}^{\infty} \int_{-\infty}^{\infty} T(k, \omega) e^{i(kx + \omega t)} dk d\omega. \quad (3)$$

Здесь $T(k, \omega)$ — случайная функция, удовлетворяющая условию статистической ортогональности $\langle T^*(k, \omega) T(k', \omega') \rangle = \Phi_\tau(k, \omega) \delta(k' - k) \delta(\omega' - \omega)$, где $\Phi_\tau(k, \omega)$ — частотно-волновой спектр поля продольных сил.

Решение уравнения (1) и волнового уравнения естественно искать в виде

$$w(x, t) = \int_{-\infty}^{\infty} \int_{-\infty}^{\infty} T(k, \omega) W(k, \omega) e^{i(kx + \omega t)} dk d\omega, \quad (4)$$

$$p(x, z, t) = \int_{-\infty}^{\infty} \int_{-\infty}^{\infty} T(k, \omega) X(k, z, \omega) e^{i(kx + \omega t)} dk d\omega. \quad (5)$$

Подстановка (3)–(5) в уравнения и дополнительные условия позволяют установить связь между функциями T , W , X и определить вероятностные характеристики возмущения давления в окружающей среде, обусловленные колебаниями пластины. Опуская промежуточные выкладки, выпишем только окончательное выражение для спектральной плотности звукового давления, связанного с распространяющимися в среде звуковыми волнами:

$$\Phi_p(\omega) = (\omega \rho_0)^2 \int_{-k_0}^{k_0} \Phi_\tau(k, \omega) |X(k, \omega)|^2 dk. \quad (6)$$

Здесь $|X(k, \omega)|^2$ — аналог передаточной функции, который в области $|k| \ll k_0$ определяется выражением

$$\begin{aligned} |X(k, \omega)|^2 = & \left(\frac{k}{\omega} \right)^2 (1 + \eta^2) \left\{ \left[\frac{\rho \rho_0 \omega^2 h}{\lambda} \left(\frac{k^2}{k_1^2} - 1 \right) + \frac{v}{1-v} k^2 \rho_0 h - \right. \right. \\ & \left. \left. - 2 \left(1 + \frac{2\mu}{\lambda} \right) \rho (k_0^2 - k^2)^{1/2} \eta \right]^2 + \left[\frac{v}{1-v} k^2 \rho_0 h \eta - \frac{\rho \rho_0 \omega^2 h \eta}{\lambda} - \right. \right. \\ & \left. \left. - 2 \left(1 + 2 \frac{\mu}{\lambda} \right) \rho \left(\frac{k^2}{k_1^2} - 1 \right) (k_0^2 - k^2)^{1/2} \right]^2 \right\}^{-1}, \quad (7) \end{aligned}$$

где $k_1 = \omega/c_1$, $c_1 = [E/\rho(1-v^2)]^{1/2}$ — скорость распространения продольных волн в пластине.

Выражение (6) и (7) используются в дальнейшем при анализе акустического излучения пластины, возбуждаемой случайным полем продольных сил. Для описания этого поля воспользуемся одномерным представлением спектра пространственных корреляций $\Phi_\tau(\xi, \omega) = \Phi_\tau(\omega) \exp \times \times [-|\xi|/\Lambda - ik_q \xi]$, которому соответствует частотно-волновой спектр

$$\Phi_\tau(k, \omega) = \Lambda \Phi_\tau(\omega) / \pi [1 + (k\Lambda + k_q \Lambda)^2]. \quad (8)$$

Здесь $\xi = x' - x$ — интервал между двумя точками наблюдения, $\Lambda = \Lambda(\omega)$ — пространственный масштаб корреляции спектральных составляющих, $k_q = \omega/U_\phi$ — конвективное волновое число, U_ϕ — фазовая (конвективная) скорость, $\Phi_\tau(\omega)$ — спектральная плотность. Приведенные ниже результаты получены на основе асимптотических оценок интеграла (6) и расчетов на ЭВМ.

Подынтегральное выражение представляет собой произведение двух

функций. Первая, частотно-волновой спектр $\Phi_r(k, \omega)$, описывает распределение интенсивности пульсаций продольных сил по волновым числам на разных частотах. Она имеет единственный максимум в окрестности $k = -k_q$, который вырождается по мере уменьшения пространственного масштаба корреляции. Этот максимум попадает в область интегрирования ($|k| \leq k_0$) только в случае $k_q \leq k_0$, т. е. $U_\phi/c_0 = M_\phi \geq 1$. Вторая, передаточная функция $|X|^2$, характеризуется двумя ярко выраженными максимумами (в окрестности $|k| = k_1$ и $|k| = k_0$). Скорость распространения продольных волн в металлических пластинах всегда существенно превышает скорость распространения звуковых волн в окружающей воздушной среде. В этом случае максимум в окрестности $|k| = k_1$ всегда попадает в область интегрирования.

Для пластины из алюминиевого сплава при $\eta = 0$ величина $|X|^2_{|k|=k_1} / |X|^2_{|k|=k_0} \approx 10^3$, т. е. максимум в окрестности $|k| = k_1$ является определяющим. По мере увеличения диссипации в пластине это отношение уменьшается, так как максимум в окрестности $|k| = k_1$ практически не зависит от η , а максимум в окрестности $|k| = k_0$ вырождается по мере увеличения η , начиная с некоторого его характерного значения, зависящего от частоты. В большой части практических случаев максимум в окрестности $|k| = k_1$ существенно превышает максимум в окрестности $|k| = k_0$.

Зависимость подынтегрального выражения (6) от волнового числа в основном определяется поведением передаточной функции. При $k_1 \Lambda \ll \ll \eta^{-1}$ частотно-волновой спектр $\Phi_r(k, \omega)$ можно трактовать как медленно меняющуюся функцию параметра k по сравнению с функцией $|X(k, \omega)|^2$. Это дает возможность оценить интеграл (6) при $\eta \rightarrow 0$ известными асимптотическими методами и представить безразмерную спектральную плотность звукового давления в виде

$$F_p = \frac{\Phi_p(\omega)}{\Phi_r(\omega)} \approx \left[\frac{k_1 \Lambda}{1 + (k_q \Lambda + k_1 \Lambda)^2} + \frac{k_1 \Lambda}{1 + (k_q \Lambda - k_1 \Lambda)^2} \right] I(k_1, \omega). \quad (9)$$

Здесь $I(k_1, \omega)$ — функция параметров пластины и акустической среды, которая не зависит от структуры поля нагрузки (пространственных масштабов корреляции и фазовой скорости) и определяется интегралом

$$I(k_1, \omega) = \frac{(\omega \rho_0)^2}{k_1} \int_0^{k_0} |X(k, \omega)|^2 dk. \quad (10)$$

Выражение (9) можно непосредственно использовать для определения влияния пространственных масштабов корреляции и фазовой скорости на акустическое излучение пластины, возбуждаемой турбулентными пульсациями касательного напряжения. В случае $k_1 \gg k_q$, т. е. когда фазовая скорость поля пульсаций касательного напряжения много больше скорости распространения продольных волн в пластине, из (9) следует соотношение

$$F_p \sim k_1 \Lambda / [1 + (k_1 \Lambda)^2], \quad (11)$$

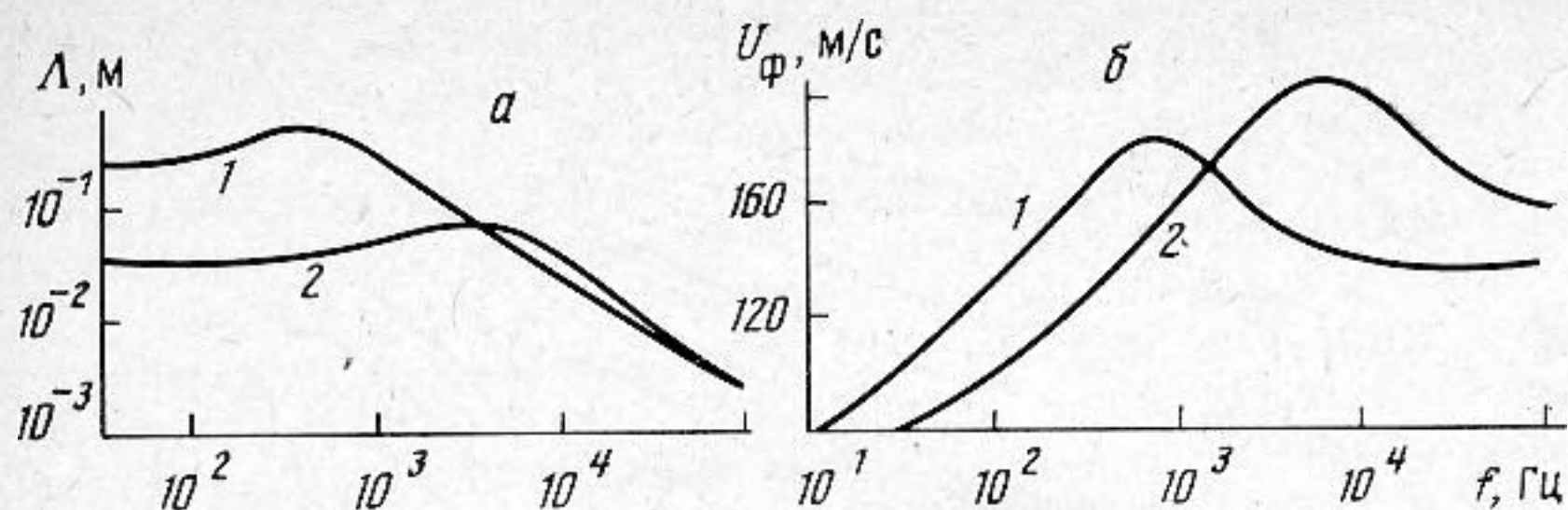
которое обнаруживает один из эффектов усиления акустического излучения при $k_1 \Lambda \approx 1$. Влияние фазовой скорости поля пульсаций касательного напряжения при этом не проявляется.

В случае $k_1 \ll k_q$, т. е. когда фазовая скорость поля нагрузки много меньше скорости распространения продольных волн в пластине, то

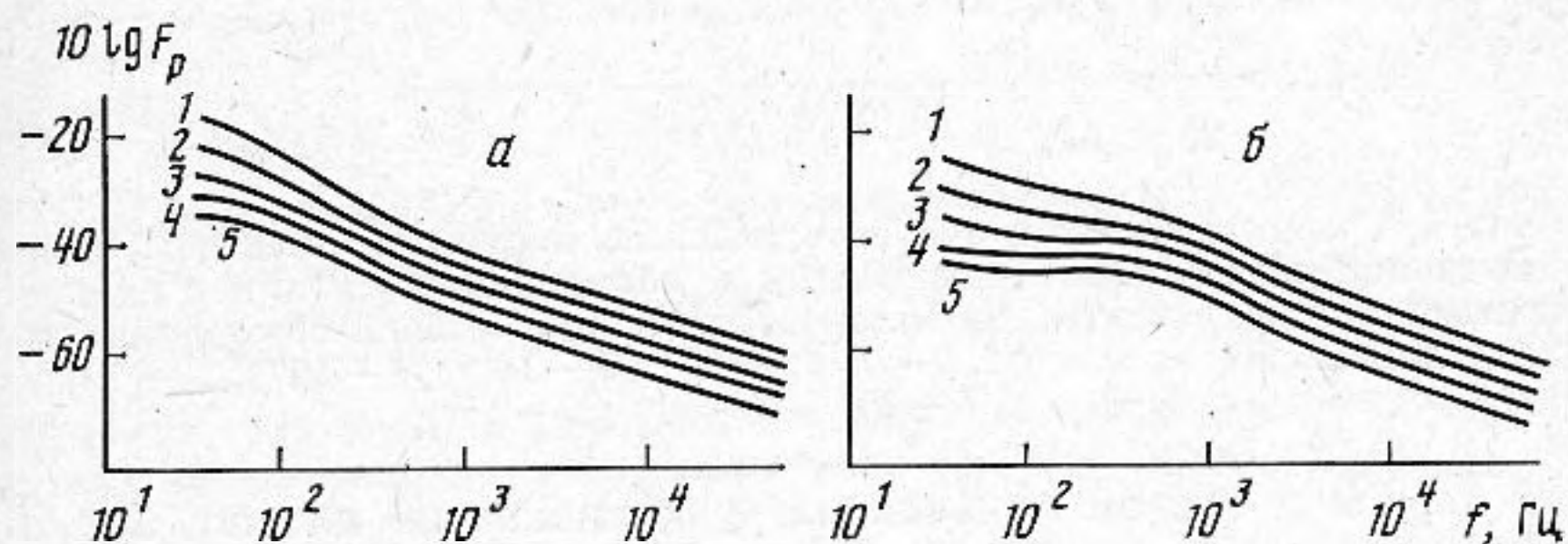
$$F_p \sim k_1 \Lambda / [1 + (k_q \Lambda)^2]. \quad (12)$$

Из (12) следует еще один эффект усиления акустического излучения, соответствующий $k_q \Lambda \approx 1$, и зависимость акустического излучения пластины от фазовой скорости. При малых пространственных масштабах корреляции ($k_q \Lambda \ll 1$) влияние фазовой скорости на F_p также не обнаруживается.

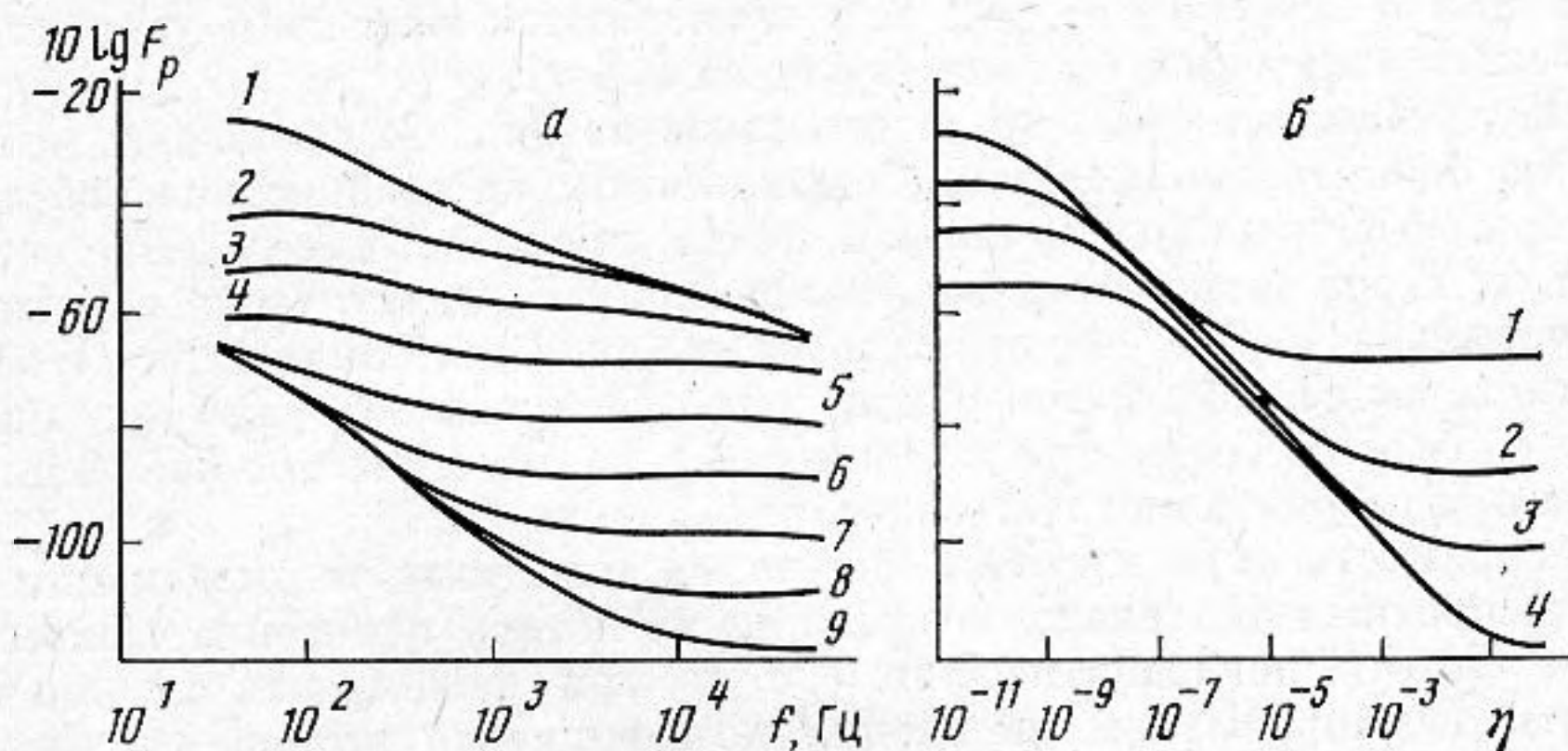
При $k_1 \sim k_q$, когда $k_1 \Lambda \gg 1$, выражение (9) дает ярко выраженный максимум, отражающий эффект усиления, аналогичный эффекту аэродинамического совпадения, наблюдаемому при нагружении пластины турбу-



Фиг. 1. Пространственный масштаб корреляции (а) и фазовая скорость (б) для первой (1) и второй (2) моделей нагрузки



Фиг. 2. Излучение звука пластиной разной толщины в поле продольных случайных сил, соответствующих первой (а) и второй (б) моделям нагрузки, мм: 1 - $h=0,75$, 2 - $h=1,5$, 3 - $h=3,0$, 4 - $h=7,0$, 5 - $h=12,0$



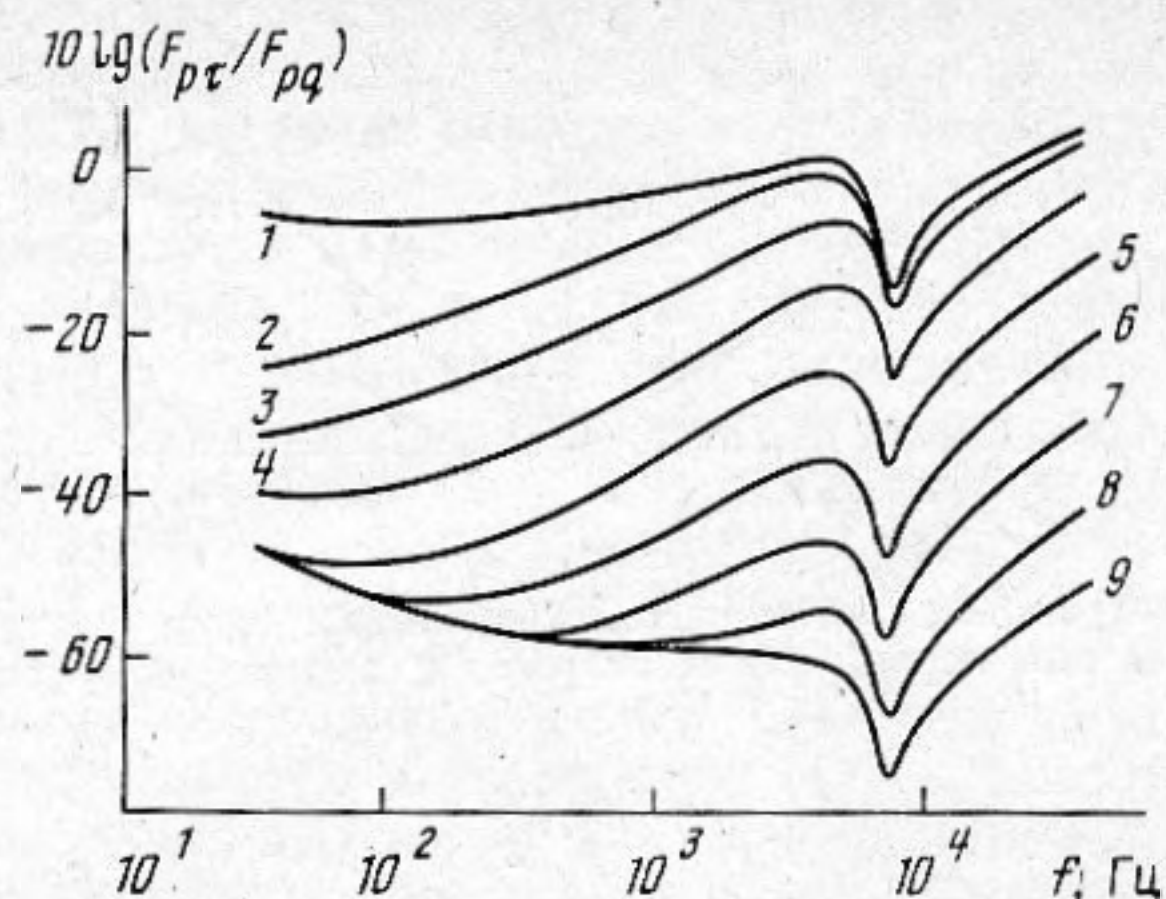
Фиг. 3. Влияние диссипации в пластине на ее акустическое излучение в поле продольных случайных сил при фиксированных значениях η (а): 1 - 0; 2 - 10^{-8} ; 3 - 10^{-7} ; 4 - 10^{-6} ; 5 - 10^{-5} ; 6 - 10^{-4} ; 7 - 10^{-3} ; 8 - 10^{-2} ; 9 - 10^{-1} ; при фиксированных значениях f (б), Гц: 1 - 63; 2 - 250; 3 - 1000; 4 - 8000

лентными пульсациями давления. По мере уменьшения $k_1\Lambda$ этот эффект усиления вырождается.

Все описанные выше эффекты усиления акустического излучения пластины в поле турбулентных пульсаций касательного напряжения имеют ту же природу, что эффекты усиления акустического излучения в поле турбулентных пульсаций давления [3], с той лишь разницей, что они обусловлены максимумом интенсивности поля действующих на пластину сил в окрестности k_1 , а не k_0 .

Последующий анализ решения (6) задачи будем проводить численным методом. Для этого воспользуемся двумя частными видами случайного нагружения пластины полем продольных сил (фиг. 1, а, б). Первой модели нагрузки соответствуют большие значения Λ и U_ϕ в низкочастотной области по сравнению со второй моделью.

Безразмерная спектральная плотность звукового давления в поле акустического излучения пластины из алюминиевого сплава равной толщи-



Фиг. 4. Сравнительная оценка акустического излучения пластины, возбуждаемой случайными продольными и нормальными силами с одинаковыми вероятностными характеристиками при разной диссипации в ней продольных волн (η): 1 — 0; 2 — 10^{-8} ; 3 — 10^{-7} ; 4 — 10^{-6} ; 5 — 10^{-5} ; 6 — 10^{-4} ; 7 — 10^{-3} ; 8 — 10^{-2} ; 9 — 10^{-1}

ны для первой и второй моделей нагрузки показана на фиг. 2, а, б. Наблюдаемое различие в результатах расчета, относящихся к разным моделям поля нагрузки, объясняется на основе соотношения (12), поскольку в рассматриваемом случае $k_1 \ll k_q$. В частности, превышение F_p для первой модели над F_p для второй модели в области $f < 100$ Гц и противоположные тенденции в окрестности $f = 1$ кГц объясняются эффектом усиления акустического излучения, соответствующим $k_q \Lambda \approx 1$.

Результаты расчетов, представленные на фиг. 2, позволяют непосредственно оценить влияние толщины пластины на ее акустическое излучение при возбуждении случайным полем продольных сил. На основной части спектров звукового давления функция F_p практически обратно пропорциональна h . Это свидетельствует о более слабом влиянии толщины пластины на ее акустическое излучение в случае возбуждения продольными силами по сравнению с влиянием h на акустическое излучение пластины при возбуждении пульсациями давления [3].

Зависимость акустического излучения пластины от диссипации в ней при дискретных значениях коэффициента потерь η и непрерывном изменении частоты показана на фиг. 3, а, а при фиксированных значениях частоты и непрерывном изменении коэффициента потерь — на фиг. 3, б. Представленные на фиг. 3 результаты расчетов относятся к первой из рассматриваемых моделей нагрузки, действующей на пластину толщиной 1,5 мм. Наблюдаемые закономерности легко объяснить на основе анализа поведения функции $|X|^2$. В частности, резкий спад F_p по мере роста η в области низких частот (фиг. 3, а) связан с уменьшением значений $|X|^2$ в окрестности $|k| = |k_1|$. Ослабление влияния диссипации на умеренных значениях η (фиг. 3, б) связано с тем, что определяющим становится поведение функции $|X|^2$ в окрестности $|k| = k_0$, а при весьма малых значениях η — ослаблением влияния диссипации на $|X|^2$ в окрестности $|k| = k_1$.

Интересно сопоставить акустическое излучение пластины, возбуждаемой случайным полем продольных сил и пульсаций давления (нормальных сил). Такое сопоставление дается на фиг. 4, где представлена частотная зависимость отношения спектральной плотности звукового давления в поле акустического излучения пластины, возбуждаемой случайными продольными силами, $\Phi_{p\tau}$ при разных значениях η к спектральной плотности звукового давления при возбуждении пластины случайными пульсациями давления Φ_{pq} [3] при фиксированном значении $\eta = 0,01$. Здесь характеристики поля продольных и нормальных сил условно приняты одинаковыми, соответствующими первой из рассматриваемых выше моделей нагрузки.

Все кривые на фиг. 4 характеризуются хорошо выраженным макси-

мумом на частоте 8 кГц, который обусловлен усилением акустического излучения пластины, возбуждаемой нормальными силами, в окрестности ее критической частоты. На частотах, много меньших критической ($f \ll f_c$), акустическое излучение неограниченной пластины при возбуждении случайными пульсациями давления практически не зависит от η . Поэтому в области $f \ll f_c$ по мере уменьшения диссипации излучающая способность пластины при возбуждении продольными случайными силами приближается к ее излучающей способности при возбуждении нормальными случайными силами. Однако при реальных значениях коэффициента потерь ($\eta > 10^{-4}$) интенсивность акустического излучения пластины, возбуждаемой продольными случайными силами, практически всегда будет меньше интенсивности ее излучения при возбуждении нормальными случайными силами с теми же вероятностными характеристиками.

ЛИТЕРАТУРА

1. Лямшев Л. М. Отражение звука тонкими пластинами и оболочками в жидкости. М.: Изд-во АН СССР, 1955.
2. Евсеев В. Н., Иванов В. С., Кирпичников В. Ю. Излучение звука бесконечной тонкой пластиной, возбуждаемой продольной силой.— Акуст. журн., 1977, т. 23, № 5, с. 731–737.
3. Ефимцов Б. М. Влияние пространственных масштабов корреляции случайных пульсаций давления на акустическое излучение пластины.— Акуст. журн., 1980, т. 26, № 4, с. 560–568.

Поступила в редакцию
23.VII.1985